

まえがき ピーク時または漏水時の発電を目的とする揚水式発電所やポンプ揚水所での問題点の一つとしてポンプ運転時に発生する揚水管路の振動がある。揚水管路の振動はポンプより発生する圧力脈動と管路との共振に起因すると考えられる。

従来の水撃作用による鉄管路の共振についての研究は、主として導水管系のものについてはこれまで多く、本報では分歧管路系による揚水管路の揚水加压運転時の水撃作用と管路系の共振について理論計算を行ひ、実験結果との比較検討を行つたものである。

2. 理論計算 図-1に示される2本の分歧管路系のA管路およびb管路の末端、A端およびD端にそれぞれポンプが設置され、A端のポンプのみが揚水泵軸を行っていき場合について計算を行ふ。管路摩擦の影響を無視すると、管路内の圧力および速度はつきのようになる。

$$H(x, t) = H_0 + h(x, t), \quad V(x, t) = V_0 + v(x, t) \quad (1)$$

ただし、 $H$ および $V$ ：管内圧力水頭と流速、 $h$ および $v$ ：ポンプ脈動による圧力、流速の変動成分、 $x$ ：管路に沿う距離（本計算では図-1に示されるように分歧管路の接合点B端を原点とした）、 $t$ ：時間

運動方程式および連続の方程式は、それぞれつきのように与えられる。

$$\frac{\partial V}{\partial t} + V \frac{\partial V}{\partial x} = -g \frac{\partial H}{\partial x}, \quad \frac{\partial V}{\partial x} = -\frac{g}{a^2} \frac{\partial H}{\partial t} \quad (2)$$

ただし、 $a$ ：水撃波の伝播速度、 $g$ ：重力の加速度。（2）において通常は $V/a \ll 1$ であるから本計算の基本式として、つきの式を用いる。

$$\frac{\partial^2 h}{\partial t^2} = a^2 \frac{\partial^2 h}{\partial x^2}, \quad \frac{\partial^2 V}{\partial t^2} = a^2 \frac{\partial^2 V}{\partial x^2} \quad (3)$$

計算に使用する境界条件はつきのようである。

$$\left. \begin{array}{l} A \text{端} (x = L_a) \quad V_A(t) = V_{0a} e^{i\omega t}, \quad D \text{端} (x = L_b) \quad V_D = 0 \\ C \text{端} (x = -L_c) \quad h_C = 0 \end{array} \right\} \quad (4)$$

また分歧管路接合部B端での連続条件は、 $H_{Ba} = H_{Bb} = H_{Bc}$ ,  $f_a V_{Ba} = f_b V_{Bb} + f_c V_{Bc}$  である。  
ただし、 $L$ ：管路長、 $\omega$ ：ポンプ脈動の角周波数、 $f$ ：管路の断面積、添字a, b, cはそれぞれ各管路の諸量、 $A, B, C, D$ は管路上の諸点の諸量を表わす。

今、管路内の圧力および流速変動も、ポンプ脈動と同様に正弦的に変化するとして

$$h(x, t) = h(x) e^{i\omega t}, \quad V(x, t) = V(x) e^{i\omega t} \quad (6)$$

となり、基本式(3)と境界条件および分歧管接合部の連続条件(4), (5)より各管路内の圧力お

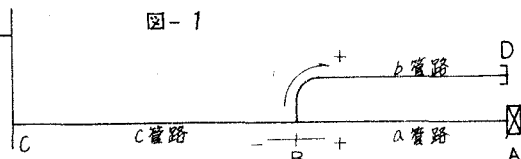


図-1

式の流速はつぎのようになら。

a 管路 ( $0 \leq \xi_a \leq \mu_a$ )

$$h_a(\xi_a, t) = h_0 \left[ \frac{\beta}{\alpha} \cos \omega \mu_b \sin \omega \mu_c \cos \omega (\mu_a - \xi_a) \cos (\omega \mu_b + \theta + \omega t) + \sin \omega (\mu_a - \xi_a + t) \right] \\ u_a(\xi_a, t) = -v_0 \left[ \frac{\beta}{\alpha} \cos \omega \mu_b \sin \omega \mu_c \sin \omega (\mu_a - \xi_a) \sin \{ \omega (2\mu_a + 2\mu_b - 2\mu_c + t) + \theta \} - \sin \omega (\mu_a - \xi_a + t) \right] \quad \{ (7)$$

b 管路 ( $0 \leq \xi_b \leq \mu_b$ )

$$h_b(\xi_b, t) = \frac{h_0}{\alpha} \sin \omega \mu_c \cos \omega (\mu_b - \xi_b) \cos \omega t \quad \{ (8) \quad h_c(\xi_c, t) = \frac{h_0}{\alpha} \cos \omega \mu_b \sin \omega (\mu_c + \xi_c) \cos \omega t \\ v_b(\xi_b, t) = -\frac{v_0}{\alpha} \sin \omega \mu_c \sin \omega (\mu_b - \xi_b) \sin \omega t \quad \{ (9) \quad v_c(\xi_c, t) = -\frac{v_0}{\alpha} \cos \omega \mu_b \cos \omega (\mu_c + \xi_c) \sin \omega t$$

$\xi = x/a, \mu = L/a, \bar{\xi} = x/a, h_0 = a_0 v_0 / g, \lambda_b = (t_b/a_b)/(t_a/a_a), \lambda_c = (f_c/a_c)/(f_a/a_a)$

$$\alpha = \cos \omega \mu_a \cos \omega \mu_b \sin \omega \mu_c \times \{ \tan \omega \mu_a + \lambda_b \tan \omega \mu_b - \lambda_c \cot \omega \mu_c \} \quad (10)$$

$$\beta = \sqrt{1 + (\lambda_b \tan \omega \mu_b - \lambda_c \cot \omega \mu_c)^2}, \theta = \tan^{-1} (\lambda_b \tan \omega \mu_b - \lambda_c \cot \omega \mu_c)$$

以上計算より揚水管路の共振時のポンプ圧力脈動周波数は (10) 通り

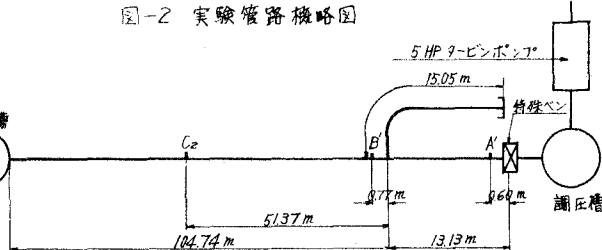
$$\tan \omega \mu_a + \lambda_b \tan \omega \mu_b - \lambda_c \cot \omega \mu_c = 0$$

を満足する  $\omega = 3.8$  。

図-2 実験管路概略図

### 3 実験結果

実験装置 実験管路は図-2 に示す調圧槽からなり、長さ  $15.05$  m の分歧管路を有する全長  $117.87$  m の 3" ガス管路である。多段式ターピンポンプで  $30$  m



の静圧と管路全体にかけて実験を行ったが、管路末端に調圧槽を、また管路始端にもポンプ共振の圧力脈動を吸収する目的で調圧槽を

図-3 実験結果

設けた。実験でのポンプ脈動は  $5\text{HP}$  の可変速モーターは最大で  $3.8$  回/秒であるよりなり、升圧度が正弦波変化となる式 (10) に設計された特徴  $\omega = 3.8$  。

図-3 は実験管路の 2 時点での計測

1) 管内圧力と圧力脈動の周波数との関係で、揚水量  $Q = 1.8/l_s$  、の場合

の圧力脈動の伝播速度は  $a = 1.270$  m/s

であった。図-3 は a 管路の基本周波数、3 倍周波数が示してある。A 点での圧力と周波数との関係は理論値

と一致しないことを示しているが、C2 点では圧力変動の大きさの不一致が認められる。これは圧力変動の負圧部

が正確に記録されなかつたためと認められる。

